

СИБИРСКИЕ ЭЛЕКТРОННЫЕ  
МАТЕМАТИЧЕСКИЕ ИЗВЕСТИЯ

Siberian Electronic Mathematical Reports

<http://semr.math.nsc.ru>

Том 14, стр. 889–902 (2017)

DOI 10.17377/semi.2017.14.075

УДК 514.7

MSC 34C05

## ДИНАМИКА КУБИЧЕСКИХ СИСТЕМ ТИПА ДАРБУ

Е.П. ВОЛОКИТИН, В.М. ЧЕРЕСИЗ

**ABSTRACT.** We study the local and global behavior of the trajectories of the differential systems of the form  $\dot{x} = x + p_3(x, y)$ ,  $\dot{y} = y + q_3(x, y)$  where  $p_3(x, y)$ ,  $q_3(x, y)$  are relatively prime homogeneous cubic polynomials.

**Keywords:** polynomial systems, singular points, Poincaré equator, phase portraits.

## ВВЕДЕНИЕ

Пусть мы имеем плоскую систему обыкновенных дифференциальных уравнений

$$(1) \quad \dot{x} = x + p_n(x, y), \quad \dot{y} = y + q_n(x, y),$$

где зависимые переменные  $x, y$  и независимая переменная  $t$  предполагаются действительными,  $p_n(x, y)$ ,  $q_n(x, y)$  — однородные многочлены степени  $n$ .

Мы будем называть такую систему системой типа Дарбу степени  $n$ .

Системы вида (1) рассматривались различными авторами, см. [1], [2] и процитированную там литературу. В этих работах рассматривались вопросы, связанные с аналитическим и динамическими свойствами систем типа Дарбу (интегрируемость, наличие или отсутствие предельных циклов, локальные и глобальные фазовые портреты и т. д.).

В частности, много работ посвящено исследованию квадратичных систем типа Дарбу (подробнее см. [3], [4, с. 219–244]).

В работе [2] мы перечислили все различные с топологической точки зрения фазовые портреты грубых систем типа Дарбу с кубическими нелинейностями

$$(2) \quad \dot{x} = x + p_3(x, y), \quad \dot{y} = y + q_3(x, y).$$

VOLOKITIN, E.P., CHERESIZ, V.M., DYNAMICS OF THE CUBIC DARBOUX SYSTEMS.

© 2017 Волокитин Е.П., Чересиз В.М.

Работа частично поддержана РФФИ (грант 15-01-00745).

Поступила 7 июля 2017 г., опубликована 14 сентября 2017 г.

Условия грубости состояли в следующем:

(А) Все особые точки системы (2) (конечные и бесконечные) являются невырожденными (определитель матрицы линейной части отличен от 0).

(В) Многочлены  $p_3(x, y)$ ,  $q_3(x, y)$  взаимно просты.

В настоящей работе мы будем рассматривать системы вида (2), которые удовлетворяют только условию (В), и приведём полный список их фазовых портретов, различных с точки зрения топологической эквивалентности. Список таких портретов насчитывает в дополнение к 14 типам грубых фазовых портретов, описанным в [2], ещё 13 типов. Этот результат доказан во втором разделе статьи (теорема 1).

В первом разделе мы приводим некоторые сведения и результаты, которые используются для доказательства теоремы.

В коротком третьем разделе мы затрагиваем вопрос о существовании полиномиальных и рациональных интегралов у системы (2).

Предлагаемая работа по полученным результатам, методам и приёмам исследования примыкает к [1], кроме того мы существенно используем результаты работы [5]<sup>1</sup>.

## 1. ПРЕДВАРИТЕЛЬНЫЕ СВЕДЕНИЯ

Особая точка  $(x_0, y_0)$  аналитической системы  $\dot{x} = P(x, y)$ ,  $\dot{y} = Q(x, y)$  определяется как решение системы уравнений  $P(x, y) = Q(x, y) = 0$ . Обозначим через  $\Delta, T$  определитель и след матрицы Якоби  $J(x, y)$  правых частей в точке  $(x_0, y_0)$ :  $\Delta = P_x Q_y - P_y Q_x|_{\{x=x_0, y=y_0\}}$ ,  $T = P_x + Q_y|_{\{x=x_0, y=y_0\}}$ .

Особая точка называется невырожденной, если  $\Delta \neq 0$ , и вырожденной в противном случае. Невырожденная точка всегда является изолированной. Среди невырожденных точек различают устойчивые и неустойчивые узлы и фокусы, седла и центры.

Особая точка  $O(0, 0)$  называется гиперболической, если оба собственных числа  $\lambda_1, \lambda_2$  матрицы  $J(0, 0)$  не лежат на мнимой оси.

Если особая точка вырожденная ( $\Delta = 0$ ), но  $T \neq 0$  ( $\lambda_1 = 0, \lambda_2 \neq 0$ ), она называется полугиперболической. Невырожденные и полугиперболические особые точки называются элементарными.

Характер особой полугиперболической точки определяется на основе следующего утверждения.

**Предложение 1** ([6], с. 87, Теорема 2). Пусть точка  $O(0, 0)$  является изолированным состоянием равновесия системы

$$(3) \quad \dot{x} = P_2(x, y), \quad \dot{y} = by + Q_2(x, y), \quad b \neq 0,$$

где  $P_2(x, y), Q_2(x, y)$  — аналитические в окрестности начала координат функции, разложение которых в ряды состоит из членов не ниже второго порядка. Пусть далее  $y = \varphi(x)$  есть решение уравнения  $by + Q_2(x, y) = 0$  в окрестности точки  $O(0, 0)$ , а разложение по степеням  $x$  функции  $\psi(x) = P_2(x, \varphi(x))$  имеет вид  $\psi(x) = \Delta_m x^m + \dots$ , где  $m \geq 2, \Delta_m \neq 0$ . Тогда: 1) При  $m$  нечётном точка  $O(0, 0)$  есть топологический узел или топологическое седло. 2) Если  $m$  чётно, то точка  $O(0, 0)$  есть так называемый седло-узел, т.е. состояние

<sup>1</sup>Следует отметить, что эти результаты позволяют также изучить кубические системы типа Дарбу, не подчинённые условию (В), однако такое исследование чрезвычайно увеличило бы объём статьи; поэтому мы проведём его в наших последующих работах.

*равновесия, окрестность которого состоит из параболического и двух гиперболических секторов.*

При построении глобальных фазовых портретов плоских полиномиальных автономных систем для получения информации о поведении траекторий используется компактификация Пуанкаре, которая состоит в следующем. Фазовая плоскость  $\mathbb{R}^2$  с координатами  $(x, y)$  рассматривается погружённой в  $\mathbb{R}^3$  таким образом, что если  $u = (u_1, u_2, u_3)$  — точка в  $\mathbb{R}^3$ , то интересующая нас фазовая плоскость есть плоскость  $\mathbb{R}^2 = \{u \in \mathbb{R}^3 : u_3 = -1\}$ . Рассмотрим сферу  $\mathbb{S}^2 = \{u \in \mathbb{R}^3 : \|u\| = 1\}$ , для которой наша плоскость является касательной в точке южного полюса  $(0, 0, -1)$  (сфера Пуанкаре). Эта же точка является началом координат в фазовой плоскости  $Oxy$ . Будем рассматривать отображение фазовой плоскости  $\mathbb{R}^2$  с помощью центральной проекции на южное и северное полушария сферы  $\mathbb{S}^2$ . Траектории на плоскости перейдут в кривые на сфере. Эти кривые будут орбитами соответствующего векторного поля, определённого на всей сфере кроме точек её экватора  $\mathbb{S}^1 = \{u \in \mathbb{S}^2 : u_3 = 0\}$  (экватор Пуанкаре). На экватор сферы «отображаются» бесконечно удалённые точки плоскости  $\mathbb{R}^2$ . Оказывается возможным доопределить полученное векторное поле на сфере в точках экватора  $\mathbb{S}^1$  с тем, чтобы получить полиномиальное поле, определённое на всей сфере. При этом экватор будет инвариантен. Полученное векторное поле  $\pi(X)$  на  $\mathbb{S}^2$  называется компактификацией исходного векторного поля  $X$ , заданного на  $\mathbb{R}^2$ . Более детальное описание процедуры построения компактификации Пуанкаре см. в [7]–[9].

Проблема исследования поведения траекторий на бесконечности сводится к изучению строения полученного поля кривых на сфере в окрестности экватора  $\mathbb{S}^1$ . Ортогональная проекция южного полушария на плоскость  $\mathbb{R}^2$  даёт удобное изображение всей фазовой плоскости в виде внутренности круга (диск Пуанкаре), границу которого мы по-прежнему будем называть экватором.

Мы будем называть векторные поля  $X$  и  $Y$  и их фазовые портреты топологически эквивалентными, если существует гомеоморфизм сферы  $\mathbb{S}^2$  на себя, сохраняющий экватор  $\mathbb{S}^1$  и переводящий поток, индуцированный полем  $\pi(X)$ , в поток, индуцированный полем  $\pi(Y)$ .

Сепаратрисы гиперболических седел являются примерами траекторий, поведение которых отличается от соседних. Следуя [10], мы будем называть такие траектории орбитно неустойчивыми. К орбитно неустойчивым траекториям относятся особые точки, предельные циклы и траектории, образующие границы гиперболических секторов особых точек [11].

Обозначим через  $U(\pi(X))$  множество, состоящее из всех орбитно неустойчивых траекторий потока  $\pi(X)$ . В [10], доказано, что  $U(\pi(X))$  конечно и замкнуто. Каждая открытая компонента множества  $\mathbb{S}^2 \setminus U(\pi(X))$  называется компонентой потока  $\pi(X)$  и состоит из орбитно устойчивых траекторий. Определяющей конфигурацией  $K(\pi(X))$  называется объединение  $U(\pi(X))$  с набором типичных траекторий по одной из каждой компоненты.  $K(\pi(X))$  и  $K(\pi(Y))$  эквивалентны, если существует гомеоморфизм сферы  $\mathbb{S}^2$ , переводящий орбиты  $K(\pi(X))$  в орбиты  $K(\pi(Y))$ .

**Предложение 2** ([10], Теорема VII). *Два потока на сфере  $\mathbb{S}^2$ , порождённые полиномиальными системами дифференциальных уравнений, топологически эквивалентны тогда и только тогда, когда эквивалентны их определяющие конфигурации.*

Аналогичный результат был получен в [12], [13] для потоков, отвечающих гладким системам на  $\mathbb{R}^2$ , и в [14] для непрерывных потоков на произвольном двумерном многообразии.

Таким образом, для адекватного воспроизведения глобального фазового портрета плоской системы нам достаточно проследить за поведением конечного числа траекторий, в первую очередь за особыми точками, предельными циклами и сепаратрисами (границами гиперболических секторов).

## 2. КУБИЧЕСКИЕ СИСТЕМЫ ТИПА ДАРБУ

Приведём некоторые свойства системы (2), которые понадобятся нам в дальнейшем.

Отметим прежде всего, что фазовый портрет системы (2) симметричен относительно начала координат.

Начало координат  $O(0,0)$  является особой точкой системы (2) типа дикритический узел. Мы будем называть её тривиальной особой точкой.

Из результатов работы [5] следует, что глобальный фазовый портрет системы (2) определяется её фазовым портретом в окрестности экватора Пуанкаре. Поэтому мы вначале изучим поведение траекторий системы (2) в бесконечно удалённой части плоскости.

**Предложение 3.** Пусть в системе (2) многочлены  $p_3(x, y), q_3(x, y)$  не имеют общего множителя.

Тогда все особые точки на бесконечности элементарны и являются узлами, седлами или седло-узлами. Бесконечно удалённая особая точка, лежит на конце прямой  $y = u_i x$ , тогда и только тогда, когда  $u_i$  — действительный корень уравнения

$$(4) \quad G(u) \equiv q_3(1, u) - u p_3(1, u) = 0.$$

При этом прямая  $y = u_i x$  является инвариантным множеством системы (2), и нет других инвариантных прямых, проходящих через начало координат. Особая точка будет седло-узлом в том и только в том случае, если кратность корня равна двум или четырём; при этом нейтральное многообразие седло-узла лежит в экваторе сферы Пуанкаре. Сепаратрисы седел и седло-узлов направлены вдоль экватора и инвариантных прямых.

*Доказательство.* Сформулированные утверждения аналогичны утверждениям из [5], в некоторой степени аналогичны и их доказательства.

Для исследования поведения траекторий системы (2) в бесконечности применим преобразование Пуанкаре

$$(5) \quad x = 1/z, \quad y = u/z,$$

$$(6) \quad x = v/z, \quad y = 1/z.$$

Преобразование (5) охватывает все точки фазовой плоскости за исключением тех, которые лежат на оси  $Oy$ . Для изучения точек, лежащих на оси ординат, применяют преобразование (6). Далее мы предполагаем для простоты изложения, что система (2) не имеет бесконечно удалённых особых точек в концах оси  $Oy$ , и преобразование (6) нам не понадобится.

Согласно [7], [8] характер бесконечно удалённых особых точек системы (2) совпадает с характером особых точек системы

$$(7) \quad \dot{u} = q_3(1, u) - up_3(1, u), \quad \dot{z} = -z(z^2 + p_3(1, u)),$$

вида  $(u_i, 0)$ , лежащих на оси  $z = 0$ . Координата  $u_i$  таким образом находится из уравнения (4).

Инвариантность прямой  $y = u_i x$  доказывается непосредственными вычислениями.

Матрица линейного приближения правых частей системы (7) в окрестности точки  $(u_i, 0)$  имеет вид

$$J = \begin{pmatrix} G'(u_i) & 0 \\ 0 & -p_3(1, u_i) \end{pmatrix}.$$

Собственные числа этой матрицы  $\lambda_i^{(1)}, \lambda_i^{(2)} \in \mathbb{R}$ ,

$$(8) \quad \lambda_i^{(1)} = G'(u_i), \quad \lambda_i^{(2)} = -p_3(1, u_i),$$

собственные векторы

$$(9) \quad v_i^{(1)} = (1, 0)^T, \quad v_i^{(2)} = (0, 1)^T.$$

Если  $p_3(1, u_i) = 0$ , то в силу равенства  $G(u_i) \equiv -u_i p_3(1, u_i) + q_3(1, u_i) = 0$  получим  $q_3(1, u_i) = 0$ , а в таком случае  $p_3(x, y)$ ,  $q_3(x, y)$  имеют общий множитель  $y - u_i x$ , что противоречит условию (B). Значит, всегда  $\lambda_i^{(2)} = -p_3(1, u_i) \neq 0$ , и особая точка  $(u_i, 0)$  является элементарной.

Если  $\lambda_i^{(1)} = G'(u_i) \neq 0$ , то особая точка является либо гиперболическим узлом, либо гиперболическим седлом.

Если  $\lambda_i^{(1)} = G'(u_i) = 0$ , то особая точка будет полугиперболической, и её тип определяется на основе теоремы, сформулированной в предложении 1.

Применим эту теорему в нашей ситуации.

Пусть  $u_i = 0$ . В таком случае имеем  $G(0) = G'(0) = 0$ , и  $G(u) = \Delta_2 u^2 + \Delta_3 u^3 + \Delta_4 u^4$ .

Система (7) при  $u_i = 0$  после замены  $u = x$ ,  $z = y$  превращается в систему вида (3),

$$\dot{x} = \Delta_2 x^2 + \Delta_3 x^3 + \Delta_4 x^4, \quad \dot{y} = -p_3(1, 0)y - (p_3(1, x) - p_3(1, 0))y - y^3,$$

в которой  $b = -p_3(1, 0) \neq 0$ .

В таком случае имеем  $\varphi(x) = 0$ ,  $\psi(x) = \Delta_2 x^2 + \Delta_3 x^3 + \Delta_4 x^4$ , и мы получаем утверждения предложения 3, касающиеся характера особой точки (в частности, седло-узел имеет место, если  $\Delta_2 \neq 0$  или  $\Delta_2 = \Delta_3 = 0$ ,  $\Delta_4 \neq 0$ ).

В случае, когда точка покоя  $O(0, 0)$  будет седлом или седло-узлом, из (9) следует, что сепаратрисы совпадают с осями  $z = 0$ ,  $u = 0$ , которые соответствуют экватору и инвариантной прямой  $y = 0$ .  $\square$

Если имеется инвариантная прямая  $y = kx + b$ , ( $b \neq 0$ ), то она «пересекает» экватор в той же точке, где его «пересекает» прямая  $y = kx$ . В таком случае на основе предложения 3 заключаем, что  $k = u_i$ , где  $u_i$  — корень уравнения (4).

Кроме прямых  $y = kx$ ,  $y = kx + b$  есть ещё одна (и только одна) инвариантная прямая с тем же наклоном:  $y = kx - b$ . Все три прямые «пересекаются» в одной и той же точке экватора, которая будет узлом.

Мы будем обозначать устойчивый узел на экваторе Пуанкаре буквосочетанием  $sN$ , неустойчивый —  $uN$ . Мы также будем различать седла на экваторе в зависимости от того, является соответствующая инвариантная прямая устойчивой или неустойчивой его сепаратрисой. В первом случае мы будем называть седло устойчивым и обозначать его  $sS$ , во втором — неустойчивым и обозначать  $uS$ . По этому же признаку мы будем различать устойчивый и неустойчивый седло-узлы. Пусть при обходе экватора в направлении против часовой стрелки при прохождении через седло-узел мы вначале встречаем гиперболический сектор, затем устойчивый параболический, в таком случае мы обозначим эту точку как  $sSN$ ; если вначале мы проходим устойчивый параболический сектор, а затем гиперболический, то обозначим эту особую точку как  $sNS$ . Аналогично определим особые точки типа  $uSN$  и  $uNS$ . Рис. 1 иллюстрирует приведённую классификацию.

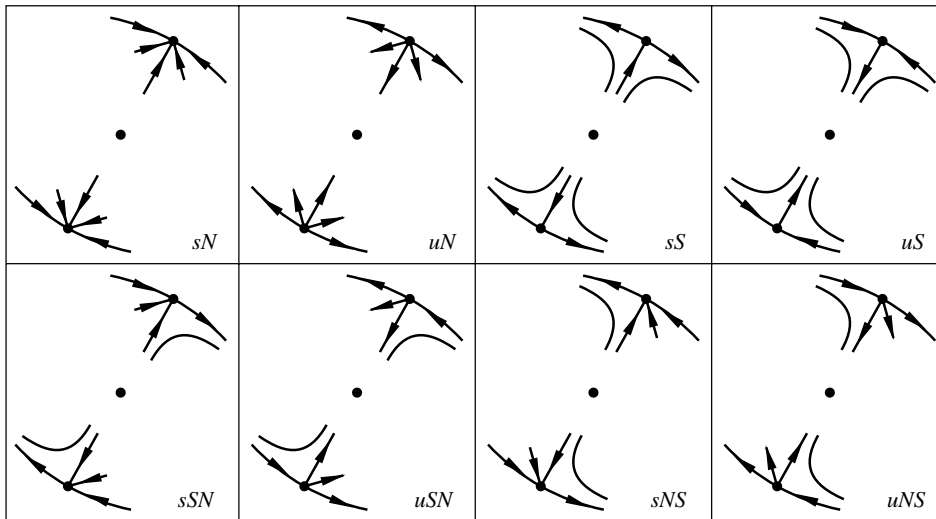


Рис. 1. Бесконечно удалённые особые точки системы (2)

Изучим конечные особые точки системы (2).

**Предложение 4.** Пусть  $(x_i, y_i)$  — нетривиальная особая точка системы (2), расположенная в конечной части плоскости. Тогда

(а) Прямая  $y_i x - x_i y = 0$  является инвариантной прямой системы (2).

(б) На каждой из инвариантных прямых либо нет конечных нетривиальных особых точек, либо их две и они расположены симметрично относительно начала координат. Каждая из нетривиальных особых точек устойчива относительно начальных данных, лежащих на содержащей её инвариантной прямой.

(с) Все конечные особые точки элементарны и являются узлами, седлами или седло-узлами. Если особая точка будет седло-узлом, то её параболический сектор будет устойчивым, а нейтральное многообразие трансверсально инвариантной прямой, содержащей эту точку.

*Доказательство.* Пункт (а) очевиден.

Координаты  $x_i, y_i$  особых точек системы (2) удовлетворяют равенствам

$$(10) \quad x_i + p_3(x_i, y_i) = 0, \quad y_i + q_3(x_i, y_i) = 0.$$

Начало координат  $O(0, 0)$  всегда является особой точкой (тривиальной).

Пусть  $(x_i, y_i)$  — нетривиальная особая точка и  $(x'_i, y'_i)$  — другая нетривиальная особая точка, лежащая на той же инвариантной прямой. В таком случае её координаты удовлетворяют равенствам  $x'_i = sx_i, y'_i = sy_i, s \neq 0$ . Тогда  $x'_i + p_3(x'_i, y'_i) = 0, y'_i + q_3(x'_i, y'_i) = 0$ , то есть  $sx_i + p_3(sx_i, sy_i) = 0, sy_i + q_3(sx_i, sy_i) = 0$ , и

$$x_i + s^2 p_3(x_i, y_i) = 0, \quad y_i + s^2 q_3(x_i, y_i) = 0.$$

Сравнивая с (10), получим  $s^2 = 1$ . Значит, точка  $(x'_i, y'_i)$  либо совпадает с  $(x_i, y_i)$ , либо симметрична ей относительно начала координат. Мы видим, что нетривиальные особые точки присутствуют симметричными парами. Признаком наличия нетривиальных особых точек на инвариантной прямой  $y = u_i x$  является выполнение условия  $p(1, u_i) < 0$ , которое означает неустойчивость бесконечно удалённой особой точки, расположенной на конце соответствующего инвариантного луча  $y = u_i x$  ( $uN, uS, uNS, uSN$ ).

Матрица линейного приближения правых частей системы (2) в окрестности особой точки  $(x_i, y_i)$  имеет вид

$$A = \begin{pmatrix} 1 + p_{3x}(x_i, y_i) & p_{3y}(x_i, y_i) \\ q_{3x}(x_i, y_i) & 1 + q_{3y}(x_i, y_i) \end{pmatrix}.$$

По формуле Эйлера для однородных функций

$$x p_{3x}(x, y) + y p_{3y}(x, y) = 3 p_3(x, y), \quad x q_{3x}(x, y) + y q_{3y}(x, y) = 3 q_3(x, y),$$

кроме того

$$p_3(x_i, y_i) = -x_i, \quad q_3(x_i, y_i) = -y_i.$$

В таком случае

$$x_i p_{3x}(x_i, y_i) + y_i p_{3y}(x_i, y_i) = -3x_i, \quad x_i q_{3x}(x_i, y_i) + y_i q_{3y}(x_i, y_i) = -3y_i,$$

откуда

$$x_i (3 + p_{3x}((x_i, y_i))) = -y_i p_{3y}(x_i, y_i), \quad y_i (3 + q_{3y}((x_i, y_i))) = -x_i q_{3x}(x_i, y_i).$$

Пусть  $x_i y_i \neq 0$ . Тогда

$$(11) \quad 3 + p_{3x}((x_i, y_i)) = -y_i p_{3y}(x_i, y_i) / x_i, \quad 3 + q_{3y}((x_i, y_i)) = -x_i q_{3x}(x_i, y_i) / y_i.$$

$$\begin{aligned} \det(A + 2E) &= \det \begin{pmatrix} 3 + p_{3x}(x_i, y_i) & p_{3y}(x_i, y_i) \\ q_{3x}(x_i, y_i) & 3 + q_{3y}(x_i, y_i) \end{pmatrix} = \\ &= \det \begin{pmatrix} -y_i p_{3y}(x_i, y_i) / x_i & p_{3y}(x_i, y_i) \\ q_{3x}(x_i, y_i) & -x_i q_{3x}(x_i, y_i) / y_i \end{pmatrix} = 0. \end{aligned}$$

Если, например,  $x_i = 0, y_i \neq 0$ , то  $p_{3y}(x_i, y_i) = 0, 3 + q_{3y}(x_i, y_i) = 0$ , и вновь

$$\det \begin{pmatrix} 3 + p_{3x}(x_i, y_i) & p_{3y}(x_i, y_i) \\ q_{3x}(x_i, y_i) & 3 + q_{3y}(x_i, y_i) \end{pmatrix} = \det \begin{pmatrix} 3 + p_{3x}(x_i, y_i) & 0 \\ q_{3x}(x_i, y_i) & 0 \end{pmatrix} = 0.$$

Мы заключаем, что  $\mu_i^{(2)} = -2$  будет собственным числом матрицы  $A$ .

Пусть  $w_i^{(2)} = (a_i^{(2)}, b_i^{(2)})^T$  — соответствующий собственный вектор. Тогда

$$a_i^{(2)}(x_i + p_{3x}(x_i, y_i)) + b_i^{(2)} p_{3y}(x_i, y_i) = 0,$$

и в силу (11)

$$\frac{b_i^{(2)}}{a_i^{(2)}} = \frac{y_i}{x_i},$$

то есть собственный вектор  $w_i^{(2)}$  направлен вдоль инвариантной прямой  $y_i x - x_i y = 0$ , проходящей через особую точку  $(x_i, y_i)$ .

Точка  $(x_i, y_i)$  всегда устойчива относительно начальных данных, лежащих на инвариантной прямой ( $\mu_i^{(2)} = -2 < 0$ ).

Если  $\mu_i^{(1)}$  — другое собственное число, то поскольку  $\mu_i^{(1)} + \mu_i^{(2)} = T = 2 + p_{3x}(x_i, y_i) + q_{3y}(x_i, y_i)$ , получаем

$$\mu_i^{(1)} = 4 + p_{3x}(x_i, y_i) + q_{3y}(x_i, y_i).$$

Обозначим  $\pi(u) = p(1, u)$ ,  $\kappa(u) = q(1, u)$ . В силу (8) собственное число  $\lambda_i^{(1)}$  матрицы  $J$  может быть записано в виде

$$(12) \quad \lambda_i^{(1)} = G'(u_i) = \kappa'(u_i) - \pi(u_i) - u_i \pi'(u_i).$$

Отметим, что

$$p_3(x, y) = x^3 p_3(1, y/x), \quad q_3(x, y) = x^3 q_3(1, y/x), \quad x_i^2 p_3(1, y_i/x_i) = -1.$$

Первые два равенства — следствие однородности функций  $p_3(x, y)$ ,  $q_3(x, y)$ , последнее справедливо, поскольку  $(x_i, y_i)$  — особая точка системы (2).

Тогда

$$p_{3x}(x, y) = 3x^2 \pi(y/x) - xy \pi'(y/x), \quad q_{3y}(x, y) = x^2 \kappa'(y/x),$$

и

$$(13) \quad \begin{aligned} \mu_i^{(1)} &= 4 + p_{3x}(x_i, y_i) + q_{3y}(x_i, y_i) = 4 + 3x_i^2 \pi(y_i/x_i) - x_i y_i \pi'(y_i/x_i) + x_i^2 \kappa'(y_i/x_i) = \\ &= -x_i^2 \pi(y_i/x_i) - x_i y_i \pi'(y_i/x_i) + x_i^2 \kappa'(y_i/x_i) = \\ &= x_i^2 (\kappa'(y_i/x_i) - \pi(y_i/x_i) - (y_i/x_i) \pi'(y_i/x_i)). \end{aligned}$$

Полагая  $y_i/x_i = u_i$  и сравнивая (12), (13), видим, что

$$(14) \quad \mu_i^{(1)} = x_i^2 \lambda_i^{(1)}.$$

Если собственное число матрицы  $A$   $\mu_i^{(1)} \neq 0$ , особая точка будет узлом или седлом. Если же  $\mu_i^{(1)} = 0$ , мы вновь попадаем в условия теоремы из предложения 1 и заключаем, что особая точка будет либо узлом, либо седлом, либо седло-узлом. В случае седло-узла нейтральное многообразие в точке  $(x_i, y_i)$  имеет касательную, направленную вдоль собственного вектора, отвечающего собственному числу  $\mu_i^{(1)} = 0$ , линейно независимому с собственным вектором  $w_2^{(i)}$ , направленным вдоль инвариантной прямой.

Равенство (14) показывает, что бесконечно удалённая и конечная особые точки, расположенные на одной инвариантной прямой, теряют свойство гиперболичности одновременно. □

Мы видим, что окрестность любой особой точки (конечной или бесконечной) заполняют узловые или седловые секторы.

Из рис. 2 ясно, что взяв две соседних особых точки на экваторе Пуанкаре, мы однозначно восстанавливаем поведение траекторий системы (2) в секторе,



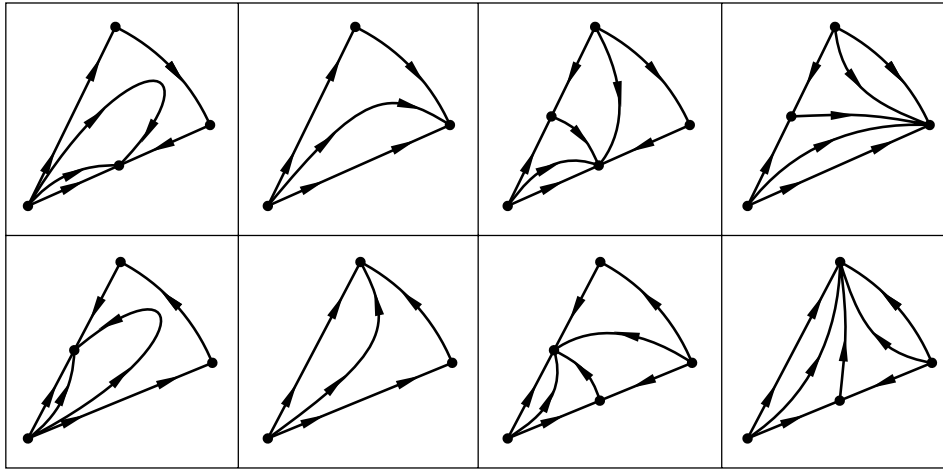


Рис. 2. Фазовые портреты при различных сочетаниях соседних бесконечно удалённых особых точек

заключённом между двумя инвариантными прямыми, определяемыми этими точками.

Отсюда, в свою очередь, следует, что задав расположение и характер всех особых точек на экваторе, мы определяем глобальный фазовый портрет системы (2).

В частности, следует отметить, что если конечная точка  $(x_i, y_i)$  является седло-узлом, то на той же инвариантной прямой имеется седло-узел на экваторе Пуанкаре, причём эти седло-узлы различной устойчивости (в смысле, оговоренном выше).

В случае отсутствия особых точек на экваторе Пуанкаре в системе (2) отсутствуют также и нетривиальные конечные особые точки и инвариантные прямые ( $q_3(1, u) - up_3(1, u) \neq 0$ ). В этом случае, как показано в [2], возможны два типа фазовых портретов: в одном случае фазовый портрет содержит глобально устойчивый предельный цикл, и все траектории, кроме тривиальной точки, стремятся к нему при возрастании времени. Такая возможность реализуется при выполнении условия

$$(15) \quad m = g(0) \int_0^{2\pi} \frac{f(\vartheta)}{g(\vartheta)} d\vartheta < 0,$$

где

$$\begin{aligned} f(\vartheta) &= \cos \vartheta p_3(\cos \vartheta, \sin \vartheta) + \sin \vartheta q_3(\cos \vartheta, \sin \vartheta), \\ g(\vartheta) &= \cos \vartheta q_3(\cos \vartheta, \sin \vartheta) - \sin \vartheta p_3(\cos \vartheta, \sin \vartheta). \end{aligned}$$

В [5] показано, что

$$m = 2q_3(1, 0) \int_{-\infty}^{+\infty} \frac{p_3(1, u) + uq_3(1, u)}{(1 + u^2)(q_3(1, u) - up_3(1, u))} du.$$

В том случае, если условие (15) не выполняется, траектории представляют собой спирали, раскручивающиеся к бесконечности.

Таким образом, мы заключаем, что глобальный фазовый портрет системы (2) однозначно определяется поведением траекторий в окрестности бесконечности, то есть структурой экватора Пуанкаре.

В [5] доказана теорема, которая применительно к нашему случаю может быть сформулирована следующим образом

**Предложение 5** ([5], Теорема 4.4). *Пусть в системе (2) многочлены  $p_3(x, y)$ ,  $q_3(x, y)$  взаимно простые. Тогда поведение на бесконечности траекторий системы (2) совпадает с поведением на бесконечности траекторий системы*

$$(16) \quad \dot{x} = p_3(x, y), \quad \dot{y} = q_3(x, y).$$

Кроме того в [5] получен список всех возможных неэквивалентных вариантов строения экватора Пуанкаре кубической однородной системы (16) при условии, что многочлены  $p_3(x, y)$ ,  $q_3(x, y)$  взаимно просты.

Список имеет вид

$$\begin{aligned} \sigma_1 &= \{sN, uN, sN, uN\}, \quad \sigma_2 = \{sN, sS, sN, uN\}, \quad \sigma_3 = \{uN, uS, uN, sN\}, \\ \sigma_4 &= \{sN, sS, uS, uN\}, \quad \sigma_5 = \{sN, sS, sN, sS\}, \quad \sigma_6 = \{sS, uS, sS, sN\}, \\ \sigma_7 &= \{uN, uS, uN, uS\}, \quad \sigma_8 = \{uS, sS, uS, uN\}, \\ \sigma_9 &= \{uNS, uN, sN\}, \quad \sigma_{10} = \{sNS, sN, uN\}, \quad \sigma_{11} = \{uNS, sS, sN\}, \\ \sigma_{12} &= \{sNS, uS, uN\}, \quad \sigma_{13} = \{uSN, uS, uN\}, \quad \sigma_{14} = \{sSN, sS, sN\}, \\ \sigma_{15} &= \{sNS, uS, sS\}, \quad \sigma_{16} = \{uNS, sS, uS\}, \\ \sigma_{17} &= \{sN, uN\}, \quad \sigma_{18} = \{uS, uN\}, \quad \sigma_{19} = \{sS, sN\}, \quad \sigma_{20} = \{uS, sS\}, \\ \sigma_{21} &= \{uNS, uNS\}, \quad \sigma_{22} = \{sNS, sNS\}, \quad \sigma_{23} = \{sSN, uNS\}, \\ \sigma_{24} &= \{uNS\}, \quad \sigma_{25} = \{sNS\}, \\ \sigma_{26} &= \{\emptyset\}. \end{aligned}$$

Каждый элемент этого списка  $\sigma_k$  задаёт последовательность особых точек на экваторе, в том порядке, в котором они встречаются при обходе экватора в направлении против часовой стрелки, начиная с особой точки, расположенной в бесконечно удалённом положительном конце оси  $Ox$ . В силу симметрии фазового портрета каждая последовательность состоит из двух следующих друг за другом идентичных частей; мы будем писать только одну из них, соответствующую точкам на верхней полуокружности.

Список естественным образом разбивается на группы одинаковых по длине последовательностей, в каждой группе фазовый портрет имеет одно и то же число инвариантных прямых. В последнем случае  $\sigma_{26} = \emptyset$ : на экваторе нет особых точек, а значит, нет и инвариантных прямых.

В соответствии с упомянутыми результатами работы [5] предложенный список исчерпывает все варианты поведения траекторий системы (2) в окрестности бесконечности. Это, в свою очередь, означает, что мы можем восстановить все возможные фазовые портреты системы (2).

Окончательно из проведённых рассуждений вытекает справедливость следующего утверждения.

**Теорема 1.** *Кубическая система типа Дарбу (2), у которой многочлены  $p_3(x, y)$ ,  $q_3(x, y)$  взаимно просты, имеет 27 типов фазовых портретов, схемы которых приведены на рис. 3.*

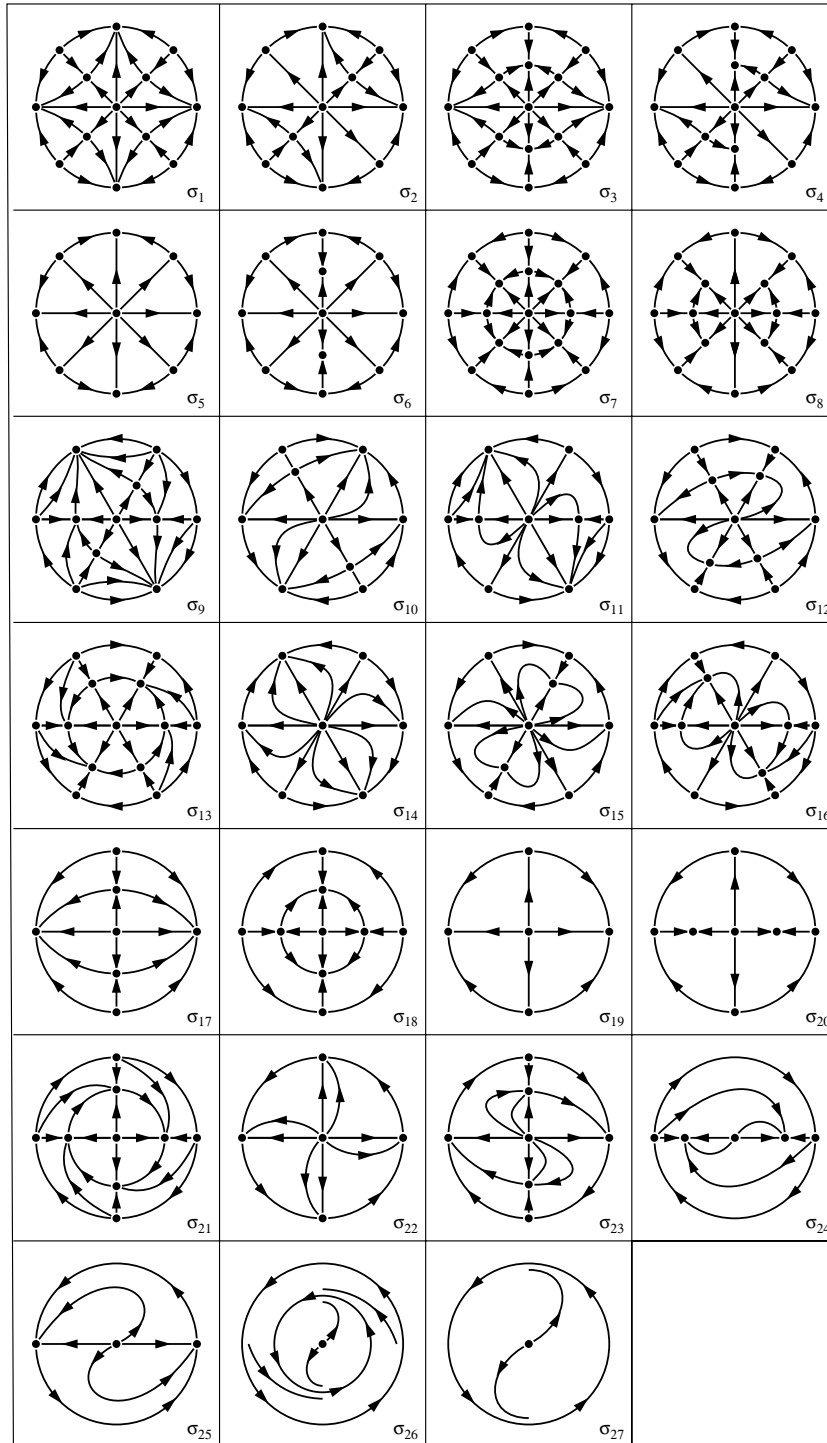


РИС. 3. Фазовые портреты системы (2)

*Замечание.* Фазовые портреты  $\sigma_1\text{--}\sigma_8$ ,  $\sigma_{17}\text{--}\sigma_{20}$ ,  $\sigma_{26}\text{--}\sigma_{27}$  являются фазовыми портретами грубой системы (2), полученные нами в [2].

Некоторые из полученных нами фазовых портретов в другом контексте были предъявлены также другими авторами, см., например, [15] и процитированную там литературу.

### 3. АЛГЕБРАИЧЕСКИЕ ИНТЕГРАЛЫ КУБИЧЕСКИХ СИСТЕМ ТИПА ДАРБУ

При исследовании полиномиальных систем дифференциальных уравнений обычно исследуется вопрос о наличии у них частных или общих интегралов, которые являются многочленами или рациональными функциями. Этот интерес вызван, в частности, тем обстоятельством, что в таком случае траектории являются алгебраическими кривыми.

В [1] доказано, что система (2) интегрируема по Дарбу и приведена формула её первого интеграла.

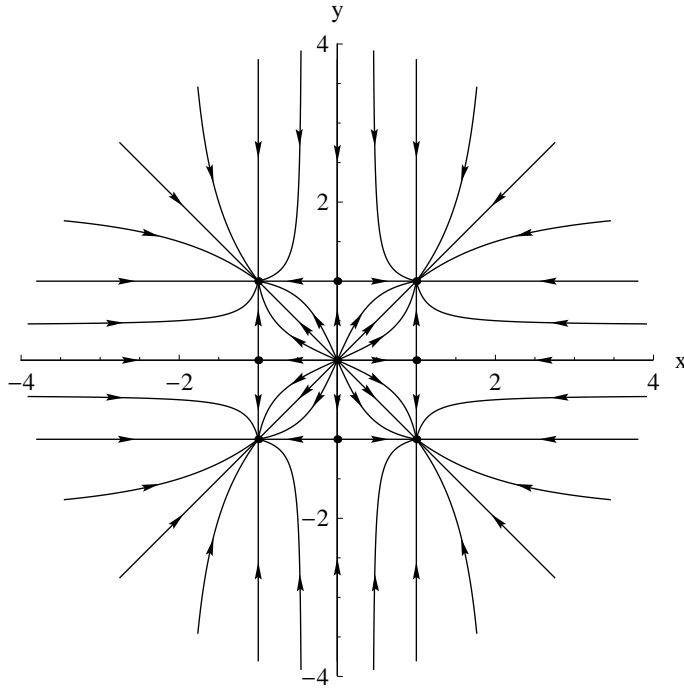


Рис. 4. Фазовый портрет системы (17)

Система (2), очевидно, не имеет полиномиального интеграла (как и вообще любого интеграла, определённого на всей фазовой плоскости), поскольку её особая точка в начале координат является узлом. Это же относится к системам типа Дарбу любой степени.

При определённых условиях система (2) имеет рациональный интеграл.

В качестве примера рассмотрим систему

$$(17) \quad \dot{x} = x - x^3, \quad \dot{y} = y - y^3.$$

Интегралом системы (17) является рациональная функция

$$(18) \quad H(x, y) = \frac{y^2(1-x^2)}{x^2(1-y^2)}.$$

Особые точки системы (17):  $O(0, 0)$  — дикритический узел, кроме того имеются дикритические узлы  $O_1(1, 1)$ ,  $O_2(-1, 1)$ ,  $O_3(-1, -1)$ ,  $O_4(1, -1)$ ; особые точки  $O_5(1, 0)$ ,  $O_6(0, 1)$ ,  $O_7(-1, 0)$ ,  $O_8(0, -1)$  — гиперболические седла. На экваторе Пуанкаре присутствуют четыре дикритических узла, расположенные в концах осей координат, и четыре гиперболических седла, находящиеся в концах биссектрис  $y = \pm x$ .

Система (17) имеет 8 инвариантных прямых  $x=0$ ,  $x=\pm 1$ ,  $y=0$ ,  $y=\pm 1$ ,  $y=\pm x$ , которые служат линиями уровня интеграла (18):  $H(x, y)=0, 1, \infty$ .

Фазовый портрет системы (17) приведён на рис. 4. Он отвечает схеме  $\sigma_7$  на рис. 3.

Авторы благодарят рецензента за сделанные замечания.

#### REFERENCES

- [1] Bendjeddou A., Llibre J., Salhi T., *Dynamics of the polynomial differential systems with homogeneous nonlinearities and a star node*, J. Diff. Equ., **254**:8 (2013), 3530–3537. MR3020886
- [2] Volokitin, E. P.; Cheresiz, V. M., *Qualitative investigation of plane polynomial Darboux-type systems*, Sib. Électron. Mat. Izv., **13** (2016), 1170–1186. MR3592221
- [3] Berlinskii, A *qualitative investigation of the differential equation  $dy/dx = (y + a_0x^2 + a_1xy + a_2y^2)/(x + b_0x^2 + b_1xy + b_2y^2)$* , Differential'nye Uravneniia, **2** (1966), 353–360. (Russian) MR 0197850
- [4] Yan Qian Ye, et al., *Theory of Limit Cycles*, Trans. Math. Monogr. **66**, Amer. Math. Soc., 1986. MR0854278
- [5] Cima A., Llibre J., *Algebraic and topological classification of the homogeneous cubic vector fields in the plane*, J. Math. Anal. Appl., **147**:2 (1990), 420–448. MR1050216
- [6] Bautin, N. N.; Leontovich E. A., *Metody i priemy kachestvennogo issledovaniya dinamicheskikh sistem na ploskosti*, Second edition. With an English summary. M.: Nauka, 1990. (Russian) MR1126908
- [7] Andronov A. A., et al., *Kachestvennaya teoriya dinamicheskikh sistem vtorogo porjadka*, M.: Nauka 1966. (Russian) MR 0199506
- [8] Enrique A. González Velasco, *Generic propeties of polynomial vector fields at infinity*, Trans. Amer. Math. Soc., **143**:1 (1969), 201–222. MR0252788
- [9] Azamov A., Suvanov Sh., Tilavov A., *Studing of behavior at infinity of vector fields on Poincaré's sphere*, Qual. Theory Dyn. Sys., **15**:1 (2016), 211–220. MR3484010
- [10] Leontovič, E.; Maier, A., *On trajectories deterring the qualitative structure of the separation of the sphere into trajectories*, Dokl. Akad. Nauk SSSR, **14** (1937), 251–254. (Russian)
- [11] Buzzi C. A., Llibre J., Medrado J. C. R., *Phase portraits of reversible linear differential systems with cubic homogeneous polynomial nonlinearities having a non-degenerate center at the origin*, Qual. Theory Dyn. Syst., **7**:2 (2009), 369–403. MR2486681
- [12] Markus L., *Global structure of ordinary differential equations in the plane*, Trans. Amer. Math. Soc., **76** (1954), 127–148. MR0060657
- [13] Leontovič, E.; Maier, A., *On a scheme deterring the topological structure of the separation of trajectories*, Dokl. Akad. Nauk SSSR (N. S.), **103** (1955), 557–560. (Russian) MR0072305
- [14] Neumann D. A., *Classification of continuous flows on 2-manifolds*, Proc. Amer. Math. Soc., **48**:1 (1975), 73–81. MR0356138
- [15] Bujac C., Llibre J., Vulpe N., *First integrals and phase portraits of planar polynomial linear differential cubic systems with the maximum number of invariant straight lines*, Qual. Theory Dyn. Syst., **15**:2 (2016), 327–348. MR3563424

VOLOKITIN EVGENII PAVLOVICH  
SOBOLEV INSTITUTE OF MATHEMATICS  
4 ACAD. KOPTYUG AVENUE  
630090 NOVOSIBIRSK RUSSIA  
NOVOSIBIRSK STATE UNIVERSITY  
2 PIROGOVA STR.  
630090 NOVOSIBIRCK RUSSIA  
*E-mail address: volok@math.nsc.ru*

CHERESIZ VLADIMIR MIKHAIĬLOVICH  
SOBOLEV INSTITUTE OF MATHEMATICS  
4 ACAD. KOPTYUG AVENUE  
630090 NOVOSIBIRCK RUSSIA  
*E-mail address: vladimir.cheresiz@gmail.com*